



Instituto Geológico
y Minero de España

Álbum Fotográfico

Documentación complementaria MAGNA
hoja E.1:50.000

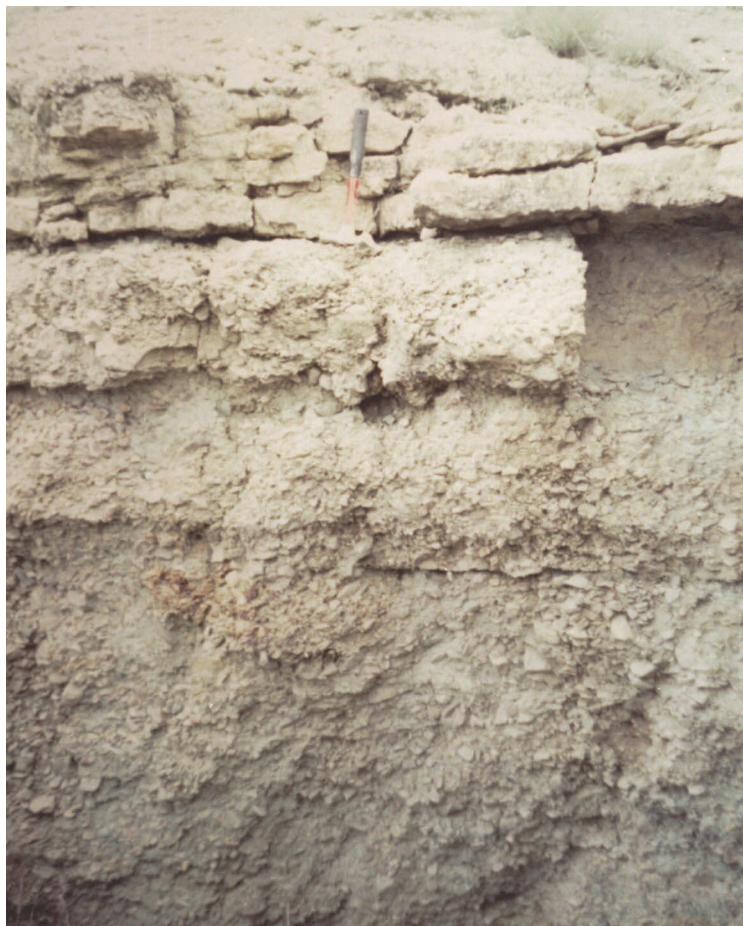
Bienservida
840 (22-33)



22-33-IN-FJ-01-01-Fo1.- Vista general de los conglomerados del Buntsandstein, con cantos más finos hacia techo.



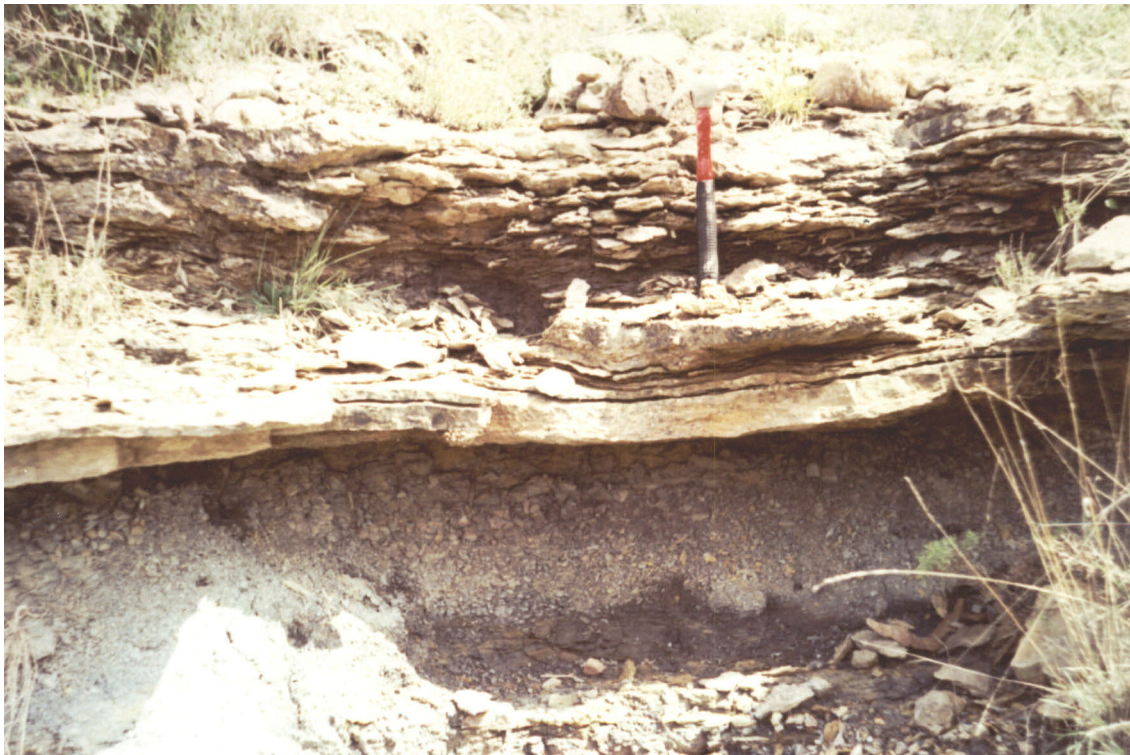
22-33-IN-FJ-01-01-Fo2.- Detalle de la parte media-baja de los conglomerados del Buntsandstein.



22-33-IN-FJ-01-01-Fo3.- Detalle de la parte alta de los conglomerados del Buntsandstein. A techo, banco carbonático (tramo 02) y base de la Unidad de lutitas gris oscuro con intercalaciones de carbonatos.



22-33-IN-FJ-01-01-Fo4.- Detalle de las barras de gravas y arenas, en el techo de los conglomerados del Buntsandstein.



22-33-IN-FJ-01-02-Fo1.- Intercalación de carbonatos (dolomías grises) en la Unidad de lutitas gris oscuro. Estratificación tabular suavemente ondulada con laminación subparalela y techo irregular (costras laminares).



22-33-IN-FJ-01-03-Fo1.- Intercalación de carbonatos con estratificación tabular, en la Unidad de lutitas gris oscuro.



22-33-IN-FJ-01-03-Fo2.- Intercalación de carbonatos con estratificación tabular, en la Unidad de lutitas gris oscuro. Detalle del nivel superior de carbonatos de la foto anterior (22-33-IN-FJ-01-03-Fo1), con laminación de estromatolitos.



22-33-IN-FJ-01-04-Fo1.- Aspecto de uno de los niveles de areniscas intercalados en la Unidad de lutitas rojo-violáceo.



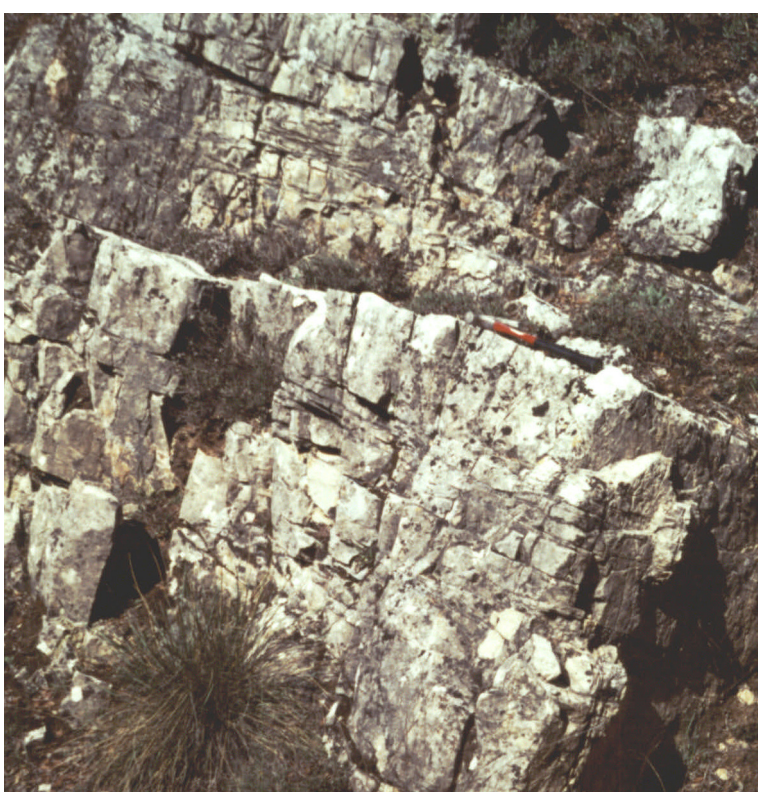
22-33-IN-FJ-02-01-Fo1.- Dolomías blancas bien estratificadas, con estratificación cruzada, del tramo T1 (Lías inferior).



22-33-IN-FJ-02-03-Fo1.- Dolomías masivas del tramo T3 (Lías inferior).



22-33-IN-FJ-02-04-Fo1.- Dolomías blancas bien estratificadas, con estratificación cruzada, del tramo T4 (Lías inferior), análogas a las del tramo T1.



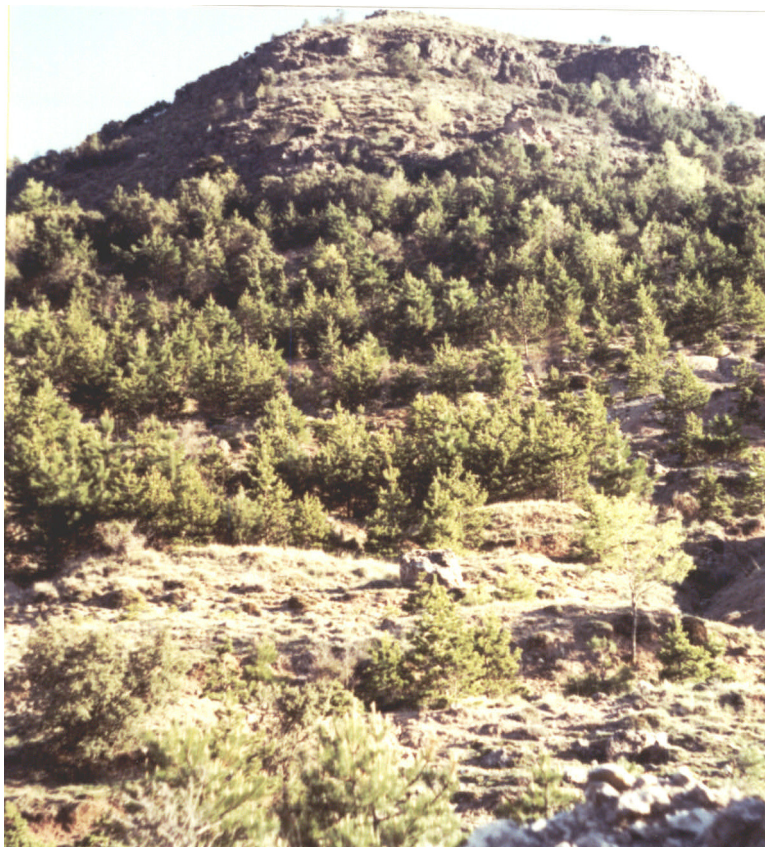
22-33-IN-FJ-02-04-Fo2.- Dolomías blancas bien estratificadas, con estratificación cruzada, del tramo T4 (Lías inferior), donde se observa la estratificación cruzada (la posición del martillo indica la superficie de estratificación). Detalle de la foto anterior (22-33-IN-FJ-02-04-Fo1).



22-33-IN-FJ-02-14-Fo1.- Lutitas del tramo inferior (tramo 14) de la Unidad de lutitas verdes y rojas (Lías inferior-medio).



22-33-IN-FJ-02-15-Fo1.- Nivel de calizas de algas (tramo 15) con "cailleux noir" intercalado en la Unidad de lutitas verdes y rojas (Lías inferior-medio).



22-33-IN-FJ-02-17-Fo1.- Aspecto general de la Unidad de dolomías bien estratificadas del Lías medio-superior. Estratificación subhorizontal.



22-33-IN-FJ-Fo1.- Aspecto general de la Unidad de lutitas rojo-violáceo y areniscas. A techo, capas de lutitas gris-verdoso, de transición al Muschelkalk superior.



22-33-IN-FJ-Fo2.- Aspecto general de la Unidad de lutitas gris-verdoso, margas dolomíticas y dolomías arcillosas (Muschelkalk superior). Las secuencias se inician en lutitas y terminan con un banco de carbonatos.



22-33-IN-FJ-Fo3.- Aspecto general de la Unidad de lutitas rojo-violáceo y areniscas, situada sobre la Unidad de lutitas gris-oscuro. Hacia arriba se observan dos niveles de areniscas.



22-33-IN-FJ-Fo4.-: Cerro de los Pizarrosos del Aljibe. Discordancia del Keuper (Unidad de lutitas rojas con niveles de areniscas) sobre el Paleozoico (Cuarrita Armicana). Como fenómeno local se puede observar la presencia de niveles de cantos (*debris-flow*) en la base.



22-33-IN-FJ-Fo5.-: Cerro de los Pizarrosos del Aljibe. Afloramiento espectacular de la Cuarcita Armoricana, muy bien estratificada, buzando suavemente hacia el Este (flanco de domo anticlinal).



22-33-IN-FJ-Fo6.-: Cerro de los Pizarrosos del Aljibe. Abajo, arcillas rojas del Cuaternario con algunos niveles de cantos alternando con calcretas laminadas, de unos 10 m de espesor, disectado por el curso del río Salobre. Arriba, Cuarcita Armoricana con estratificación subhorizontal.



22-33-IN-FJ-Fo7.- Panorámica de las escamas de la Sierra de Alcaraz desde la zona del vértice Atalaya (NE de El Ojuelo).



22-33-IN-FJ-Fo8.- Otra panorámica de las escamas de la Sierra de Alcaraz, desde la zona del vértice Atalaya (NE de El Ojuelo).



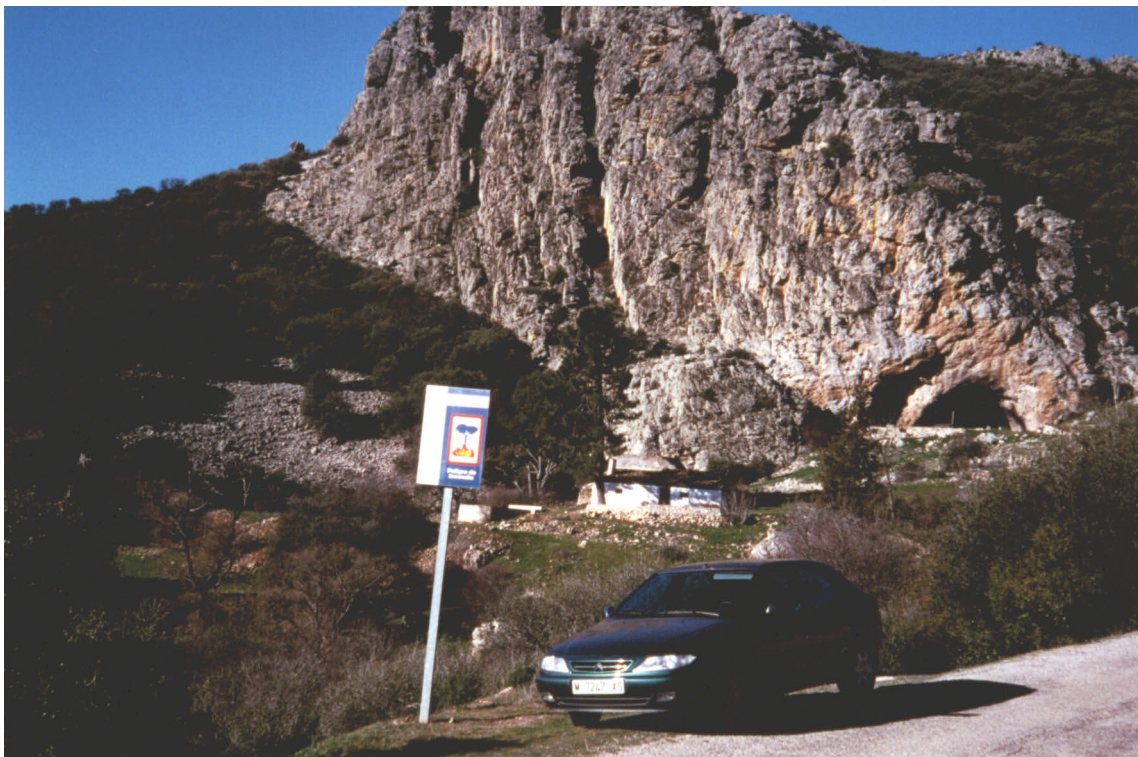
22-33-IN-FJ-Fo9.- Panorámica de la Unidad de dolomías, calizas dolomíticas y calizas con oolitos del Dogger, desde la zona del vértice Atalaya (NE de El Ojuelo).



22-33-IN-FJ-Fo10.- Panorámica del paso desde la Cobertura Tabular (a la izquierda) hasta la zona de escamas de la Sierra de Alcaraz, desde el vértice Atalaya (NE de El Ojuelo).



22-33-IN-FL-Fo1.- Vista del flanco oriental del anticlinal de la Sierra del Relumbrar, en la Cuarcita Armoricana, desde la Llanura del Trías Inferior en Villapalacios.



22-33-IN-FL-Fo2.- La Cuarcita Armoricana (4) del flanco oriental del anticlinal de la Sierra del Relumbrar. Casa de la Cueva en la carretera local de Villapalacios a Albadalejo.



22-33-IN-FL-04-02-Fo1.- Estilo de plegamiento en las Pizarras Guindo (8) aflorantes en la Hoz de Terrinches.



22-33-IN-FL-04-02-Fo2.- *Hummocky cross-stratification* (H.C.S.) en areniscas de grano fino. Secuencias decimétricas de tipo HFM y HXM en los tramos del tránsito de las Pizarras Guindo (8) a las Cuarcitas Botella (9) en la Hoz de Terrinches.



22-33-IN-FL-04-06-Fo1.- Aspecto de la Formación Bancos Mixtos (11) en la Hoz de Terrinches. Capas cuarcíticas decimétricas con estructuras "swaley" (H.C.S.) amalgamadas.



22-33-IN-FL-04-06-Fo2.- Barra de techo de la Formación Bancos Mixtos (11) (Areniscas de las "Lumaquelas terminales"). Secuencias tempestíticas decimétricas (H.C.S.) del tipo PHX y HX con intracapas milimétricas de lutitas negras y/o carbonatos.



22-33-IN-FL-04-07-Fo1.- En el Miembro Inferior de la "Caliza de Urbana" (12) facies bio y volcanoclásticas con abundantes fragmentos de cuarcita subredondeados a subangulosos. "Facies de fragmentos anteriores a los depósitos de carbonato" (s.str.).



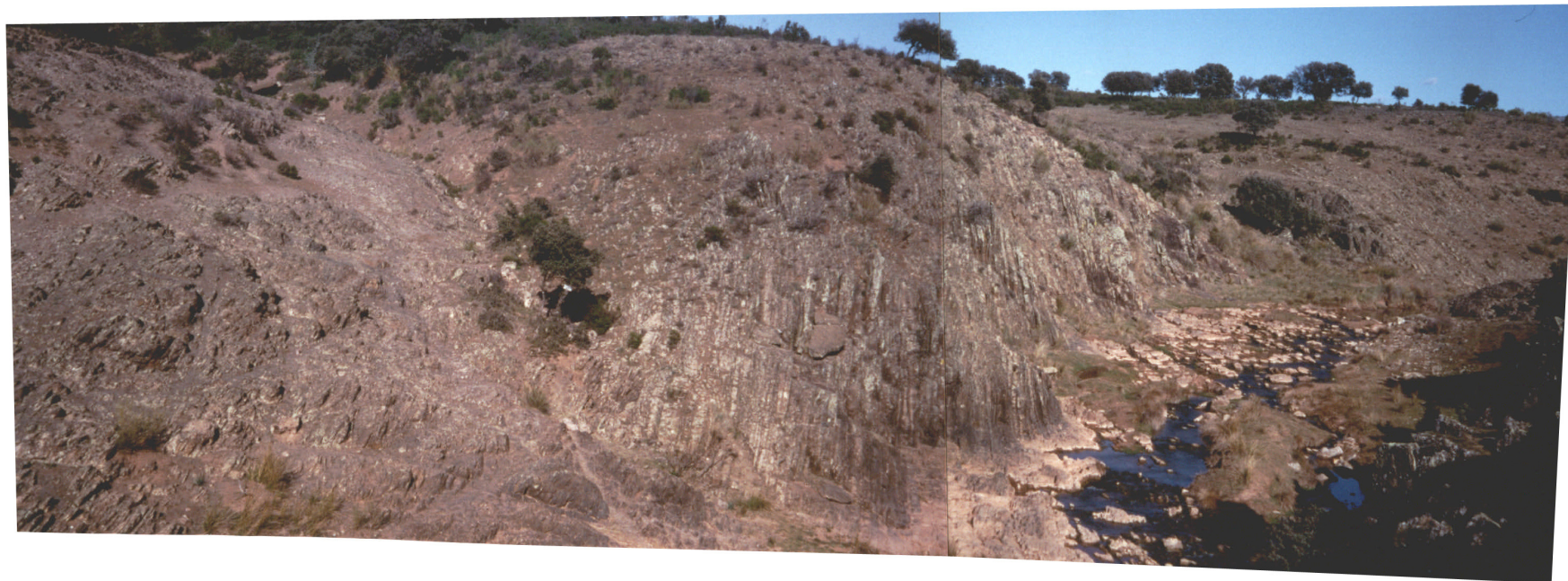
22-33-IN-FL-04-07-Fo2.- Detalle de estos fragmentos de Cuarcita y el aspecto rudítico de los aspectos bio y volcanoclásticos.



22-33-IN-FL-04-09-Fo1.- Facies de *debris flow* (“brechas intraformacionales”) a techo de las “Pizarras de Chavera” (14) en la serie de la Hoz de Terrinches.



22-33-IN-FL-Fo3.- Techos de ripples en las capas de areniscas cuarcíticas de la Formación Alternancias “El Caño”, en el río Turruchel. Son secuencias tempestíticas decimétricas (H.C.S.) del tipo HX y PHX.



22-33-IN-FL-Fo4.- En la serie del río Turruchel, aspecto de las Formaciones Pizarras Canteras (10) y Bancos Mixtos (11), de izquierda a derecha. El contacto se establece cuando la estratificación es clara y las capas de areniscas tienen entidad decimétrica.



22-33-IN-FL-Fo5.- En la misma localidad de la Fo4 y en continuación estratigráfica, se observan los Bancos Mixtos (11) con capas eslumpadas y el contacto con las Calizas de Urbana (12) a la derecha de la foto.